

神戸大学 正員 の 笹 源 亮  
 学生員 佐伯 昇

粗さの異なる面を2枚風方向に平行に、風洞内に左右に敷いた時、その面の境界線附近に生じる流れの状態について考察する。実験模型、座標等は図-1に示す通りである。

流れは一対三次元境界層流れであるが、Vaglio等によつて示された三次元境界層流れ(乱流)の式はこの場合不適当と思われる。なぜならば主流の大きさは横方向成分と同程度の大きさとは考えられず、且つ流れ方向、横方向の長さも同程度の量と思えないからである。

横方向の風速成分、長さが高さ方向のものと同程度の大きさであり、主流方向のものよりもはるかに小さいと考えるのがこの場合適当と考える。

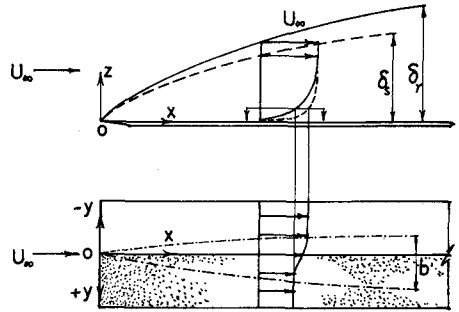


Fig. 1

この考えに基づき、Navier-Stokesの式より、定常、乱流の場合について運動の式を求めると、

$$\bar{u} \frac{\partial \bar{u}}{\partial x} + \bar{v} \frac{\partial \bar{u}}{\partial y} + \bar{w} \frac{\partial \bar{u}}{\partial z} = \frac{\partial}{\partial y} [\nu \frac{\partial \bar{u}}{\partial y} - \overline{uv'}] + \frac{\partial}{\partial z} [\nu \frac{\partial \bar{u}}{\partial z} - \overline{uw'}] \quad (1)$$

となり、又連続の式は

$$\frac{\partial \bar{u}}{\partial x} + \frac{\partial \bar{v}}{\partial y} + \frac{\partial \bar{w}}{\partial z} = 0 \quad (2)$$

が得られる。

一方乱流エネルギーに關する式も上記の考えに基づけば、次の(3)式のように書き表わすことが出来る。

$$\bar{u} \frac{\partial \bar{E}}{\partial x} + \bar{v} \frac{\partial \bar{E}}{\partial y} + \bar{w} \frac{\partial \bar{E}}{\partial z} + \overline{u'v'} \frac{\partial \bar{u}}{\partial y} + \overline{u'w'} \frac{\partial \bar{u}}{\partial z} + \frac{\partial}{\partial y} \overline{v'[\frac{E}{2} + \frac{P'}{2}]} + \frac{\partial}{\partial z} \overline{w'[\frac{E}{2} + \frac{P'}{2}]} = \epsilon \quad (3)$$

但し、2の下  $\bar{E} = \overline{u'^2 + v'^2 + w'^2}$  であり、 $\epsilon$  は消散エネルギーを示す。

これら基本式に基づいて流れを検討する前に、実験模型について考えて見る。今もし風洞が充分横中があり、階組2面の境界線より、どちらの面上でも充分離れた所においては、境界線の存在は物理的に影響しなくなり、その下は単なる二次元境界層流れとなる。従つて風速分布は対数法則によるとすれば、 $\bar{u} = (u_{1/2}) \ln(\frac{z}{z_0})$  で表示され、境界層の厚さ  $\delta$  は高さ方向の風速成分  $u_{1/2}$  に比例するとすると、

$$\alpha = \frac{\delta}{b/k} [\ln \frac{\delta}{z_0} - 1] \quad (4)$$

得られる。但し、2の下  $\delta$  は面の粗さを与える量、 $b$  は比例定数である。(4)式に基づけば、leading edge より風下同一距離の点においては、

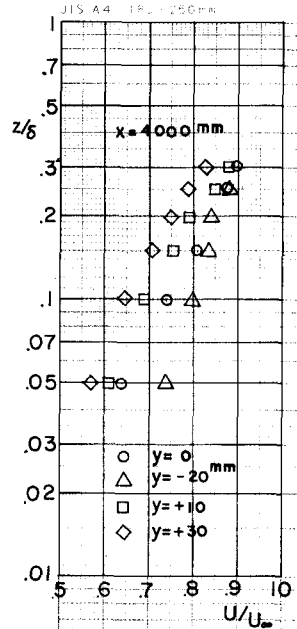


Fig. 2

面の粗いものほど境界層厚さは大きい。

この実験模型のように境界層外の風速が同一であり、面上下風速が零であることとを考えると、境界層内の水平断面における主流の風速分布は滑面上が最大、粗面上は小さい。滑粗面の境界線附近においては図-1に示すように、*Brundt* の示したような不連続な風速分布の "Smoothing out" が期待される。

$$\frac{U_x - U_{xs}}{U_{tr} - U_{xs}}$$

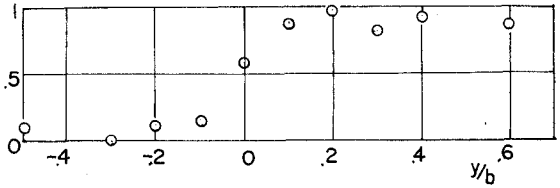


Fig. 3

この水平断面の風速分布は(1)式において $\tau$ に関する項を省略し、*Godtler*, *Tollmien* 等の平流モデルとし、水平方向の剪断力  $-\rho \overline{uv}$ 、或はそれから得られる渦粘性係数に代して適当な値を代入すれば、それに近い分布形を得ることは難くない。問題は従って2面の境界附近の乱流状態に歸着される。

この場合、主流方向に於いて、2面の状態は全く同一であることから、たとえ境界線附近においても高エネ方向に於いては2次元境界層の流れと全く同一の状態が考えられ、風速分布は  $\bar{u} = (U_{tr}/2) \ln(\frac{y}{b})$  と表示される。ただし  $U_{tr}$ ,  $b$  は滑粗2面各々固有の値と異なり、境界から横方向に離れるに従って各々滑粗面のそれぞれ別の値に近づくものとする。上記の事を風洞実験を行って確かめると図-2, 3のようになる。このことから高エネ方向に於いては乱流エネギーは

$$\overline{u'v'} \frac{\partial \bar{u}}{\partial y} + \frac{\partial}{\partial y} \overline{u'v' [\frac{\partial \bar{u}}{\partial y} + \rho]} = E_1 \quad (5)$$

の関係が成立し、横方向に於いては

$$\bar{u} \frac{\partial \bar{u}}{\partial x} + \bar{v} \frac{\partial \bar{u}}{\partial y} + \bar{w} \frac{\partial \bar{u}}{\partial z} + \overline{u'v'} \frac{\partial \bar{u}}{\partial y} + \frac{\partial}{\partial y} \overline{v' [\frac{\partial \bar{u}}{\partial y} + \rho]} = E_2 \quad (6)$$

となる。ただし  $E = E_1 + E_2$  である。

(6)式を境界層外の風速 $\bar{u}$ と境界層厚さ $b$ で無次元化して、その各項の大きさを風洞実験結果より大小比較すると、Advectionの項は $10^2 \sim 10^4$ 程度であり、Productionは10、Diffusionは1程度となる。

従って(6)式は書き換えられる。

$$\overline{u'v'} \frac{\partial \bar{u}}{\partial y} + \frac{\partial}{\partial y} \overline{v' [\frac{\partial \bar{u}}{\partial y} + \rho]} = E_2 \quad (6')$$

となり、横方向にもShear zoneが存在すると考えるのが妥当と思われる。

従っていわゆる水平断面の風速分布 "Smoothing out" の中 $b$ は、主流方向に境界層厚さと同じ傾向の発達を示すはずであり、図-4に実験による結果を示す。ただし実際問題として実験結果より $b$ を求めることは困難であるので、 $b$ は変るものとして、"Smoothing out" の平均風速を求め、さらに $\frac{1}{4}$ 風速、 $\frac{1}{2}$ 風速を求め、 $\frac{1}{4}$ 風速から $\frac{1}{2}$ 風速までの中 $b$ を採用した。

なおこの実験に使用した風洞は試験区間  $0.5 \times 0.5 \times 6^m$  のもので、境界層外風速は  $15 \text{ m/sec}$  である。

又圧力勾配は零となるよう調整した。

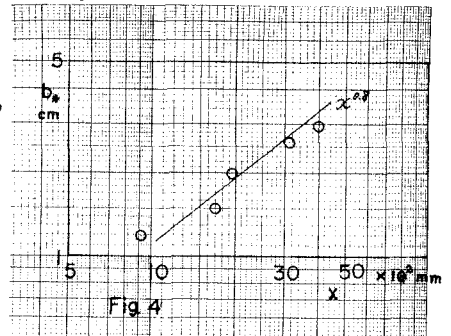


Fig. 4